

STRENG VERTROUWELIJK

Alleen voor:

Service Handelaars

Auteursrechten voorbehouden



SERVICE DOCUMENTATIE

voor de ontvanger

3030 A

1956 Voor voeding uit wisselstroomnetten

ALGEMEEN

Knoppen

Van links naar rechts:
Lage tonen regelaar
Volumeregelaar
Afstemming
Hoge tonen regelaar

M.F.

A.M. - 452 kHz
F.M. - 10,7 MHz

Netspanningen

110 - 127 - 145 - 165 - 220 - 245 V

Druktoetsen

Van links naar rechts:
Netschakelaar

Verbruik

ca. 70 W.

P.U.

L.G. 1150 - 2000 m (260 - 150 kHz)
M.G. 186 - 578 m (1620 - 519 kHz)
K.G. 24,3 - 51,7 m (12,3 - 5,8 MHz)
F.M. 3 - 3,43 m (100 - 87,5 MHz)

Luidspreker

AD 3700 A.M. (800 Ω)

Buizen

B1 - ECC85 B6 - EL84
B2 - ECH81 B7 - EZ80
B3 - EF89 B8 - EM80
B4 - EF85 B9 - EL86
B5 - EABC80

Afmetingen

Breedte - 52,8 cm
Hoogte - 35,6 cm
Diepte - 21,5 cm

Schaalverlichtingslampjes

2 x 8024 N/778

Bandbreedte (A.M.)

De M.F. bandbreedte (1 : 10) gemeten vanaf g1 - B2 bedraagt ongeveer 10 kHz.
De overall bandbreedte (1 : 10) gemeten vanaf de antennebus bedraagt bij 1000 kHz ongeveer 9 kHz

93 986 54.1.22

De eindtrap.

Het vereenvoudigd principeschema is weergegeven in fig. 2.

In het geval geen signaal aan $g_1 - B_6$ wordt toegevoerd, ontstaat de negatieve roosterspanning voor de buis B_9 over de weerstand R_{42} . De negatieve roosterspanning voor buis B_6 ontstaat over R_{43} en C_{70} . Aangezien de beide buizen voor gelijkstroom in serie staan, is de anodegelijkstroom voor beide buizen gelijk. De anodespanning van B_6 wordt toegevoerd via de R_i van B_9 .

Wordt via de stop weerstand R_{51} een L.F. wisselspanning aan $g_1 - B_6$ toegevoerd en wordt verondersteld, dat deze spanning in positieve richting toeneemt, dan zal de I_a van B_6 gaan stijgen. Hierdoor stijgt de spanningsval over R_{42} en punt A zal dus sterker negatief worden t.o.v. punt B (zie fig. 2).

Als dus de stuurroosterspanning van B_6 in positieve richting toeneemt (zie fig. 1a) neemt de stuurroosterspanning van B_9 in negatieve richting toe (fig. 1b).

De stuurroosterspanningen van B_6 en B_9 zijn dus in tegenfase. Neemt de anodestroom door B_6 toe (fig. 1c), dan neemt de anodestroom door B_9 af (fig. 1d). De anodewisselstromen van B_6 en B_9 zijn dus in punt B tegengesteld gericht.

Aangezien de som der stromen naar punt B gelijk moet zijn aan de som der stromen vanaf punt B, zal dus door de luidsprekerspoel en C_{69} een stroom gaan vloeien, welke gelijk is aan de som van de anodewisselstromen van B_6 en B_9 (dus $I_1 + I_2$) zie fig. 1e. C_{69} blokkeert de gelijkspanning.

HOGЕ TONENREGELING

Via het hoogdoorlaatfilter $C_{71}, R_{37} - R_{38}$ wordt de uitgangsspanning teruggevoerd naar het stuurrooster van B_6 door middel van C_{62} welke voor de hoge frequenties een lage impedantie vormt.

In de bovenste stand van de potentiometer $R_{37} - R_{38}$ zal maximum tegenkoppeling ontstaan, dus minimale versterking voor de hoge frequenties. De tegenkoppelspanning zal afnemen naarmate de looper naar beneden bewogen wordt.

De versterking voor de hoge frequentie neemt dus toe.

LAGE TONENREGELING

Via het laagdoorlaatfilter R_{44}, C_{65} wordt de uitgangsspanning toegevoerd aan het hoogdoorlaatfilter, gevormd door C_{60}, R_{36} en $C_{61}, R_{34} - R_{35}, R_{37} - R_{38}$.

In de bovenste stand van de potentiometer $R_{34} - R_{35}$ (fig. 3) worden C_{60} en C_{61} kortgesloten en wordt de tegenkoppelspanning via R_{33} aan $g_1 - B_6$ toegevoerd.

De versterking voor de lage frequenties is dus minimaal. Via C_{61} wordt een extra spanning op het stuurrooster gebracht, teneinde het verlies aan versterking te compenseren. In de onderste stand van de potentiometer (fig. 4) wordt C_{62} kortgesloten. De tegenkoppelspanning wordt dan via het hoogdoorlaatfilter aan $g_1 - B_6$ toegevoerd, zodat minimale tegenkoppelspanning ontstaat en de versterking voor de lage frequenties maximaal is.

De impedantie van C_{60}, C_{61} is klein t.o.v. de potentiometer R_{34}, R_{35} zodat deze laatste dus kan worden verwaarloosd.

HET AFREGELLEN VAN DE ONTVANGER.A.M. gedeelte.Algemeen.

Volumeregelaar op maximum.

Wisselspanningsmeter aansluiten op de extra luidspreker aansluitingen.

Trimpunt 1 ligt geheel links op stationsschaal.

Trimpunt 2 ligt 29 mm rechts van trimpunt 1.

Trimpunt 3 ligt 150 mm rechts van trimpunt 1.

Alvorens af te regelen, wijzer instellen op trimpunt 1, bij minimumstand van de afstemcondensator.

Kernen der M.F. bandfilters zover mogelijk uitdraaien.

Indien niet anders aangegeven, worden de signalen via een normale kunstantenne aan de antennebus toegevoerd.

	Golf- bereik	Trim- punt	Signaal	Afregelen	Aanwijzing	
M.F. bandfilters	M.G.	1	452 kHz via 33000 pF aan g1-B2	S33 S32 S28 S29 S32	max. uitgangs- spanning	
H.F. en oscillator kringen	M.G.	3	610 kHz	S25, S6	max. uitg. spanning	Herha- len
		2	1500 kHz	C33, C10		
	L.G.	3	169,5kHz	C19, S7	max. uitg. spanning	Herhalen
	K.G.	3	6,38MHz	S23, S5	max. uitg.	Herhalen
2		11,73MHz	C32, C9	spanning		

M.F. Sper- en zuigkringen

Kernen van S11 en S12 zover mogelijk uitdraaien.

S7 kortsluiten.

Wijzer geheel rechts van de schaal.

1. Signaal 452 kHz aan antennebus.
2. S11 afregelen op minimum uitgangsspanning.
3. Kern van S11, $\frac{1}{4}$ slag doordraaien.
4. S12 afregelen op minimum uitgangsspanning.
5. S11 natrimmen op minimum uitgangsspanning.

F.M. gedeelte.Afregelen met behulp van een A.M. service oscillator.Algemeen.

Diodevoltmeter (D.V) via een weerstand van 100 k Ω aansluiten over R23.

De toegevoerde signalen zijn ongemoduleerd.

Tijdens het afreglen dient de uitgangsspanning van de service-oscillator dusdanig te worden ingesteld, dat de diodevoltmeter (D.V) een spanning van ca. 8 Volt aanwijst.

Kernen van S21, S27, S31 en S36 zover mogelijk uitdraaien.

	Stand stations-wijzer	Signaal	Service oscillator aansluiten	Afregelen	Aanwijzing
M.F. Band-filters	87,5 MHz	10,7MHz	via 1500 pF aan g1 - B4	S34 * S36 - 36a	max. D.V. 0 D.V.
			via 1500 pF aan g1 - B3	** S30, S31	max. D.V.
			via 1500 pF aan g1 - B2	S26, S27	max. D.V.
			tussen antenne - bus en aar- de	S58	max. D.V.

* Sluit parallel aan R23 twee in serie geschakelde weerstanden van 220 k Ω aan.

Sluit de D.V. aan tussen het knooppunt van deze weerstanden en het knooppunt R22, C52. (Zie principeschema).

** Verwijder de weerstanden van 220 k Ω en sluit de D.V. aan over R23.

Kernen van S55, S56 - 57 en trimmers C86, C89 zover mogelijk uitdraaien.

	Stand stations wijzer	Signaal	Service oscillator aansluiten	Afregelen	Aanwijzing
H.F. Krin- gen	87,5MHz	87,5MHz	tussen antennebus F.M. en aarde $\lrcorner \perp$	S55	max. D.V. 2e piek
				S56 - 57	max. D.V.
	100 MHz	100 MHz	tussen antennebus F.M. en aarde $\lrcorner \perp$	C86	max. D.V. 1e piek
				C89	max. D.V.

Aandrijfsnaren.

De lengte en de loop van de aandrijfsnaren zijn gegeven in fig. 5. De variabele condensatoren zijn hierbij in de maximum stand gebracht.

LIJST VAN ONDERDELEN

Bij bestelling steeds vermelden :

1. Codenummer en kleur
2. Omschrijving
3. Typenummer van het apparaat

	Omschrijving	Codenummer
	Kast	A3 771 04.0
	Druktoets	A3 417 61.0
	Grote knop	A3 752 33.0
	Kleine knop voor toonregeling	A3 752 69.0
	Veer in grote knop	A3 522 08.0
	Bladveer voor bevestiging spoel	A3 651 89.0
	Trekveer in aandrijfsnaar	A3 646 47.0
	Tulle voor schakelbevestiging	P5 420 03/08
	Spiraalveer om as drukknopunit	A3 651 16.0
	Trekveer in drukknopunit	49 947 89.0
	Drukveer in drukknopunit	A3 644 85.0
	Netschakelaar	B1 590 18.0
	Trekveer voor F.M. schakelaar	A3 646 90.0
	Trommel voor aandrijving F.M. afstemming	P4 505 45/02
	Kap voor netschakelaar	P5 280 25/08
	Kap voor steker dipoolantenne	P5 280 26/04
	Veer voor toonindicatie	A3 759 25.0
	Stationsnamenschaal (Zuid)	A3 807 31.0

S1)		A3 142 84	C11	33 pF	A9 999 04/33E
S2)			C12	380 pF	A9 999 05/200E
S3)				par. (A9 999 05/180E
S4)		A9 999 21/24+	C13	6,8 pF	A9 999 04/6E8
S5)		52m	C14)	Zie spoelen, voir	
S6)			C15)	bobines, see coils	
S7)		A3, 117 83.0	C16	4,7 pF	A9 999 04/47E
S11)			C17	270 pF	A9 999 05/270E
S12)			C18	100 pF	A9 999 04/100E
C14)	240 pF	A3 119 70.0	C19	100 pF	A9 999 07/200E-100E
C15)	5,6 pF		C23	10000 pF	A9 999 04/10K
S21)			C24	470 pF	A9 999 04/470E
C31)	15 pF	A3 127 83.0	C25	33000 pF	A9 999 06/33K
S22)		A9 999 23/24-	C26	10000 pF	A9 999 04/10K
S23)		52m	C27	82 pF	A9 999 04/82E
S24)			C28	1800 pF	A9 999 06/1K8
S25)		A3 125 99.0	C29	2200 pF	A9 999 04/2K2
S26)			C30	4700 pF	A9 999 06/4K7
S27)			C31)		
C34)	33 pF	A3 127 00.0	C34)	Zie spoelen, voir	
C35)	33 pF		C35)	bobines, see coils	
S28)			C36)		
S29)			C37)		
C36)	110 pF	A3 126 84.0	C32	30 pF	28 212 36.4
C37)	195 pF		C33	22 pF	A9 999 08/22E
S30)			C38	4700 pF	A9 999 04/4K7
S31)			C39	560 pF	A9 999 04/560E
C42)	33 pF	A3 127 00.0	C40	4700 pF	A9 999 04/4K7
C43)	33 pF		C41	6800 pF	A9 999 04/6K8
S32)			C42)		
S33)			C43)	Zie spoelen, voir	
C44)	195 pF	A9 999 25/452	C44)	bobines, see coils	
C45)	195 pF		C45)		
S34)			C46	33 pF	A9 999 04/33E
S35)			C47	47 pF	A9 999 04/47E
S36)			C48	4700 pF	A9 999 04/4K7
S36a)			C49	10000 pF	A9 999 04/10K
C53)	22 pF	A3 127 01.0	C50	6800 pF	A9 999 04/6K8
C72)	47 pF		C51	4700 pF	A9 999 04/4K7
S41)			C52	1000 pF	A9 999 06/1K
S42)		WE110 61.0	C53)	(Zie spoelen, voir	
C1	50 pF)		(bobines, see coils		
C1a	50 pF)	A9 999 13/	C54	4700 pF	A9 999 04/4K7
C2	50 pF)	50+50+50	C55	4700 pF	A9 999 04/4K7
C3)			C56	10 pF	A9 999 09/E10
C4)			C57	10000 pF	A9 999 04/10K
C5	68 pF	A9 999 04/68E	C58	15000 pF	A9 999 06/15K
C6	68 pF	A9 999 04/68E	C59	22000 pF	A9 999 06/22K
C9	22 pF	A9 999 08/22E	C60	2200 pF	A9 999 06/2K2
C10	12 pF	49 005 64.2	C61	2200 pF	A9 999 06/2K2
			C62	6800 pF	A9 999 06/6K8
			C64	6800 pF	A9 999 06/68K
			C65	2200 pF	A9 999 06/2K2
			C66	10000 pF	A9 999 04/10K
			C67	3300 pF	A9 999 05/3K3
			C68	130 pF	A9 999 05/110E
				par. (A9 999 05/24E

C69	8 μ F	A9 999 11/L8	R31	10 Ω	A9 999 00/10E
C70	100 μ F	A9 999 10/C100	R32	0,1 M Ω	A9 999 00/100K
C71	680 pF	A9 999 04/680E	R33	0,47 M Ω	A9 999 00/470K
C72	(Zie spoelen, voir bobines, see coils)		R34	1,6 M Ω)	B1 639 48.0
C73	10000 pF	A9 999 04/10K	R35	0,4 M Ω)	A9 999 00/470K
R1	260 Ω	A9 999 00/27CE	R36	0,47 M Ω	B1 639 49.0
R2	600 Ω	2x 49 379 78.0	R37	0,45 M Ω)	A9 999 00/100K
R3	33000 Ω	A9 999 00/33K	R38	50000 Ω)	A9 999 00/1K
R5	1,2 M Ω	A9 999 00/1M2	R39	0,1 M Ω	A9 999 00/100K
R6	39000 Ω	A9 999 00/39K	R40	1000 Ω	A9 999 00/100K
R7	150 Ω	A9 999 00/150E	R41	0,1 M Ω	B1 636 36.0
R8	47000 Ω	A9 999 00/47K	R42	270 Ω	A9 999 00/180E
R9	33000 Ω	A9 999 00/33K	R43	180 Ω	A9 999 00/47K
R10	1000 Ω	B1 636 38.0	R44	47000 Ω	A9 999 00/10E
R11	10000 Ω	A9 999 00/10K	R45	10 Ω	B1 636 25.0
R14	2200 Ω	B1 636 51.10	R46	100 Ω	A9 999 00/3M9
R15	82000 Ω	A9 999 00/82K	R47	3,9 M Ω	A9 999 00/12M
R16	2200 Ω	B1 636 51.0	R48	12 M Ω	A9 999 00/470K
R17	0,22 M Ω	A9 999 00/220K	R49	0,47 M Ω	48 767 05/56E
R18	1,8 M Ω	A9 999 00/1M8	R40	56 Ω	A9 999 00/1K
R19	0,1 M Ω	A9 999 00/100K	R51	1000 Ω	A9 999 00/680K
R20	0,12 M Ω	A9 999 00/120K	R52	0,68 M Ω	A9 999 00/1M8
R21	15000 Ω	A9 999 00/15K	A53	1,8 M Ω	A9 999 00/100K
R22	47000 Ω	A9 999 00/47K	R54	0,1 M Ω	A9 999 00/3K9
R23	10000 Ω	A9 999 00/10K	R55	3900 Ω	A9 999 00/20E
R24	0,8 M Ω)		R56	20 Ω	A9 999 00/22E
R25	0,1 M Ω)	B1 638 19.0	R59	22 M Ω	A9 999 00/180E
R25a	0,1 M Ω)		R60	180 Ω	A9 999 00/27E
R26	33000 Ω	A9 999 00/33K	R61	27 Ω	A9 999 00/1M
R27	68 Ω	A9 999 00/68E	R62	1 M Ω	A9 999 00/2K2
R28	18 M Ω	A9 999 00/18M	R63	2200 Ω	A9 999 00/10K
R29	0,22 M Ω	A9 999 00/220K	R64	10000 Ω	B1 636 43.0
R30	100 Ω	A9 999 00/100E	R65	1500 Ω	A9 999 00/120K
			R67	0,12 M Ω	
			Z2	10 A	A9 999 74/10000
			Z3	63 mA	A9 999 74/63
			Z4	315 mA	A9 999 74/315

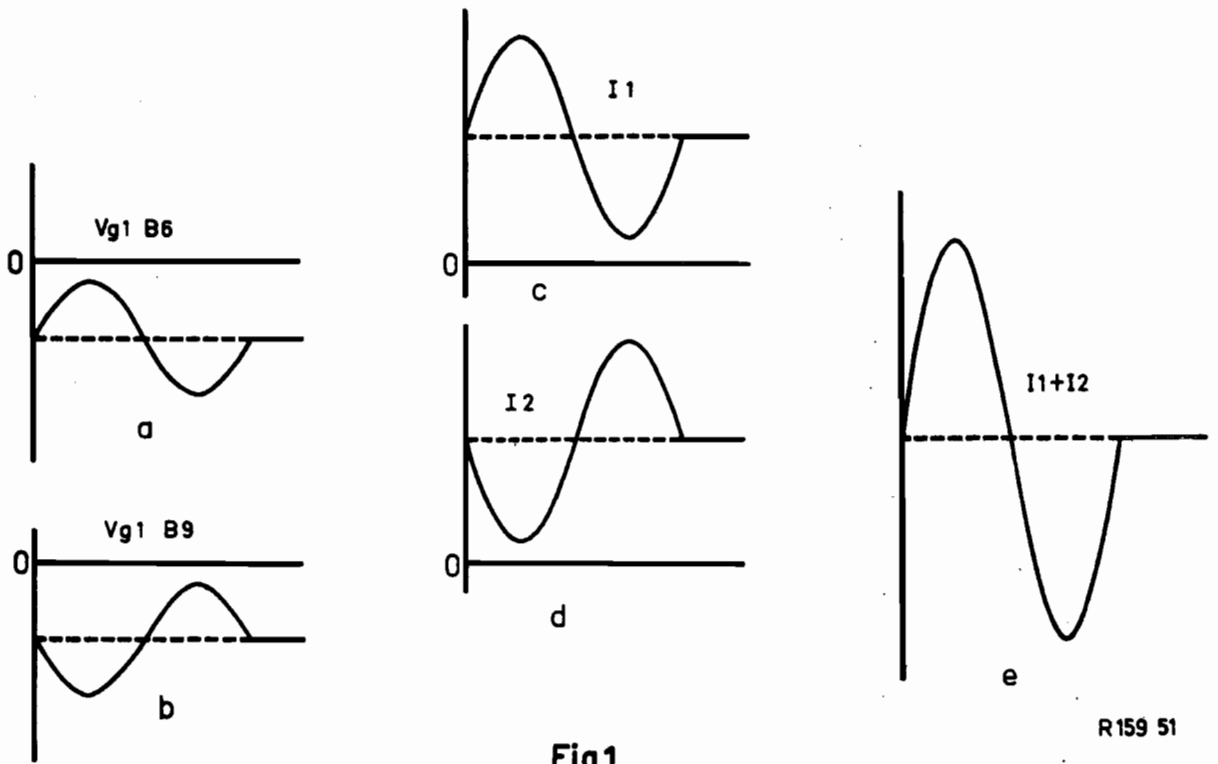


Fig.1

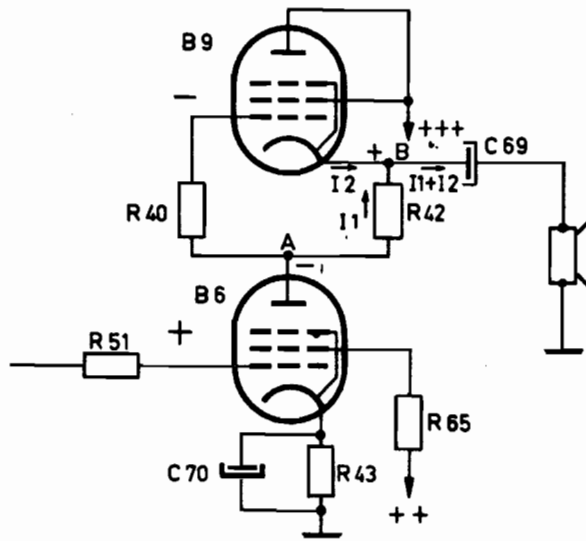


Fig.2

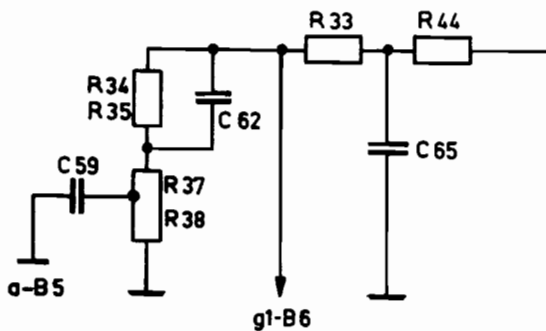


Fig.3

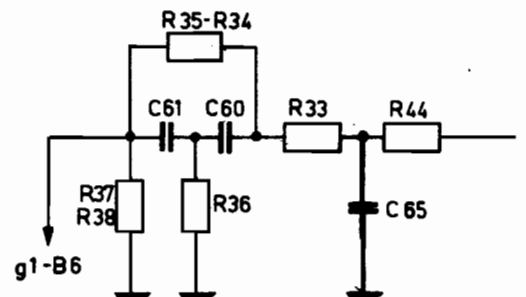
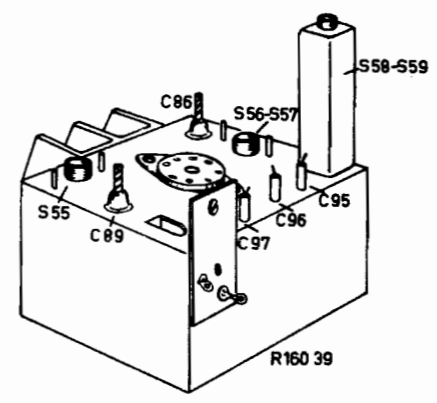
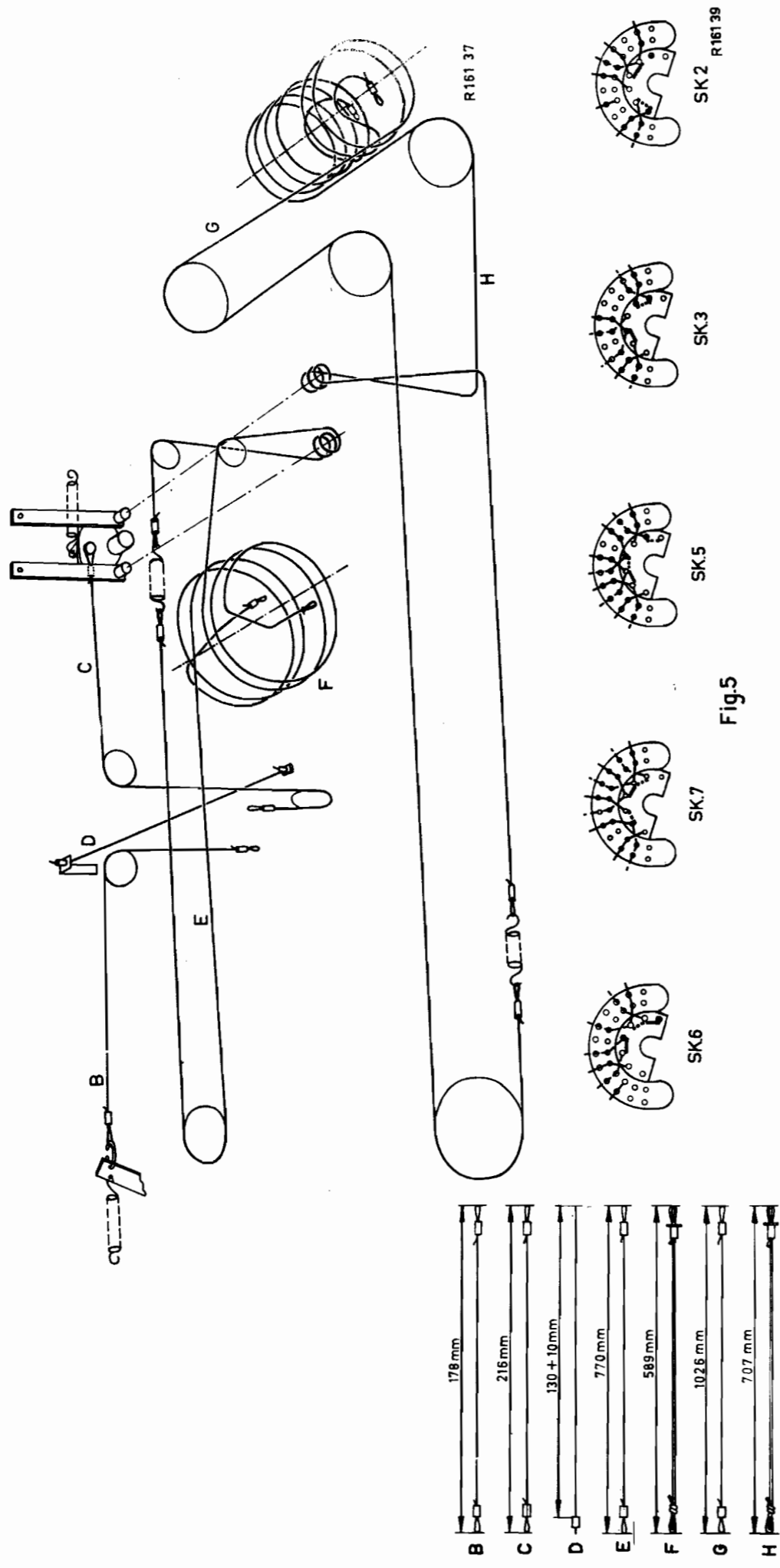
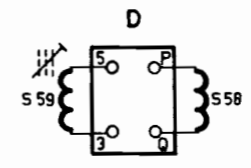
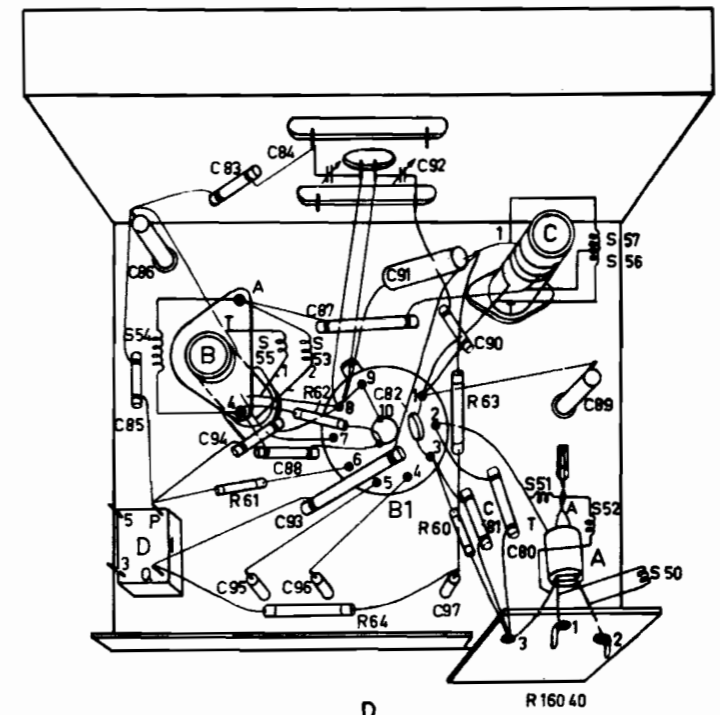


Fig.4

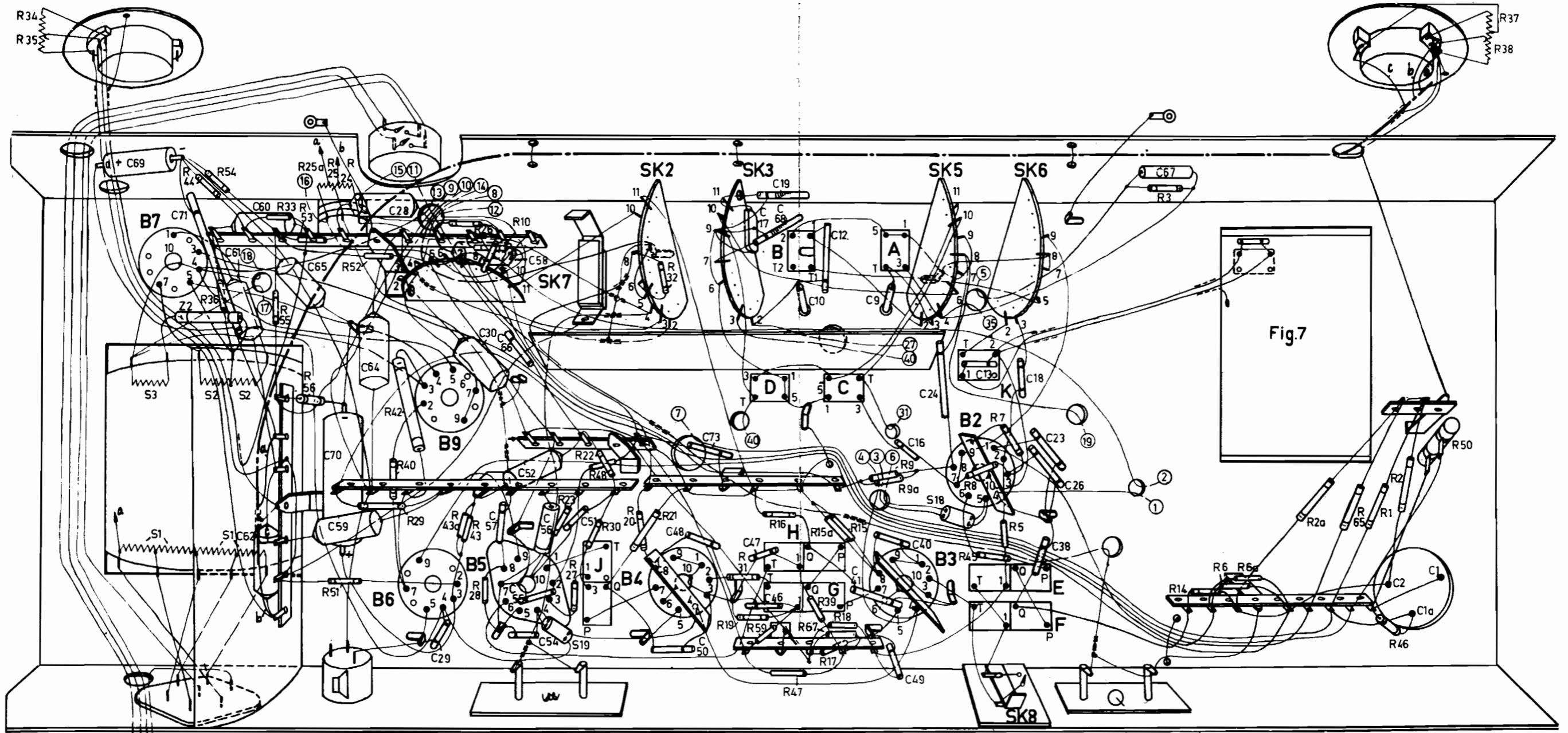
3030 A



S:	D.	B.					C.	A.
C:	85. 86.	83.94.95.88.84.93.96.87.92.91.82.90.97.81.80.	89					89
R:	61.	62. 64.					63. 60.	

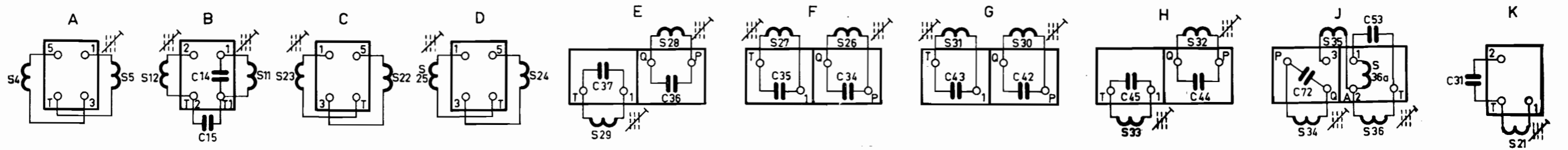


S:	3	1.	2.			19.	J.		D.	B.	H.	G.	C.	A.	18	K.	F.	E.					
C:	69	71.	61.	6062.65	70.5964.	28.	29	3057.275866.54525556.51.	50.4873	173347.6846.19.10.12			419.494.016.24.	13.	18382326		67.		2.	1a.	1.		
R:	34.35	44.54.36.	5533	565325a25245152.29.4.0.42.	43a4326	28.19.10.		2327.30224.8.20.21.32.		31.19591647	391715a156718	9.9a.		8.455.7		3.	14.	6.6a.	2a.	65.	1.46.2.	50.	37.38.



R 16399

Fig. 8



R 161 38

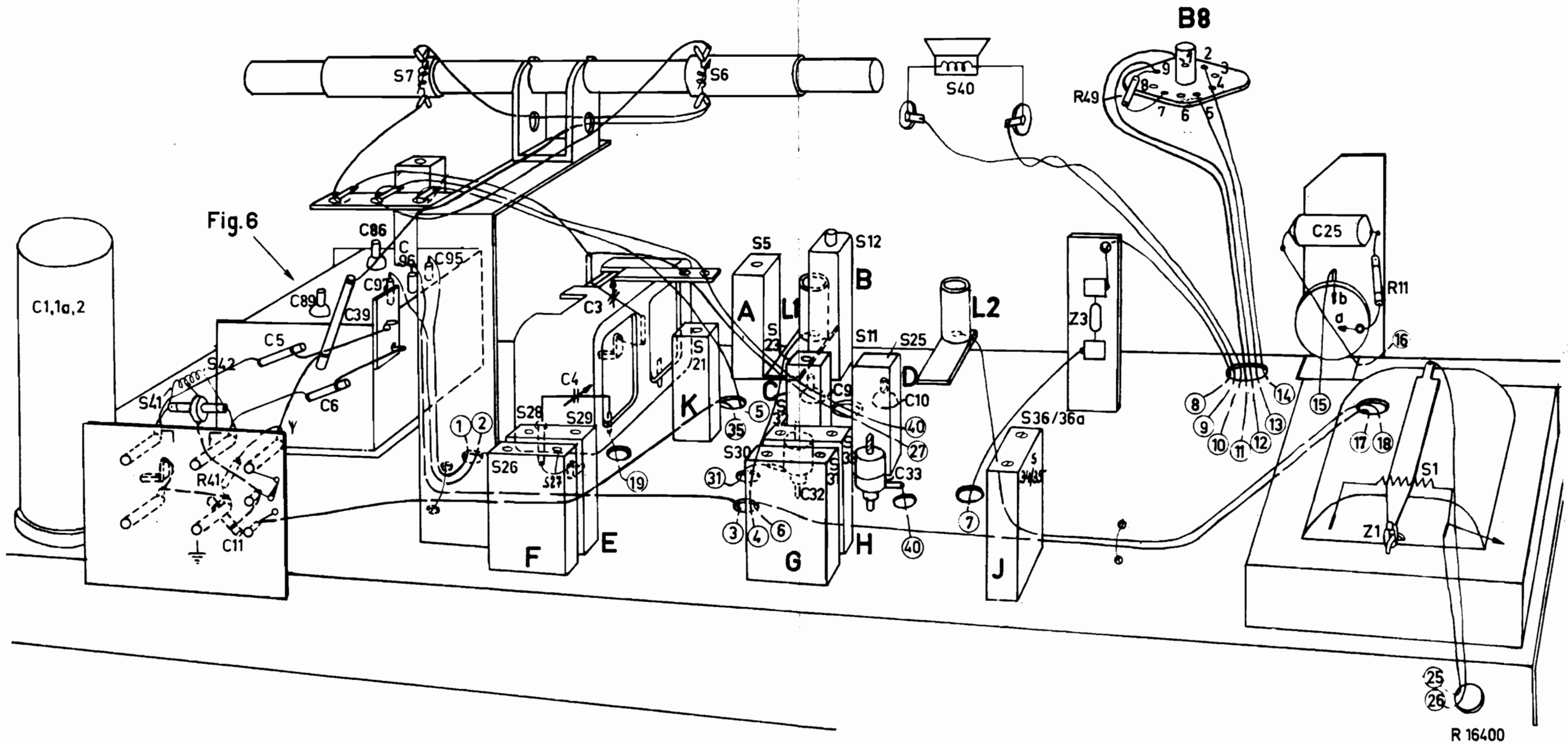


Fig.10

R 16400